

레이저 매질로서의 $\text{Yb}(\text{HFA-D})_3$ 촉물의 광학적 특성

Optical Properties of $\text{Yb}(\text{HFA-D})_3$ Complex for Laser Material

김정호*, 박용필**

(Jeong-Ho Kim, Yong-Pil Park)

Abstract

Perdeuterated hexaflouroacetylacetonato-ytterbium [$\text{Yb}(\text{HFA-D})_3$] complexes were synthesized by the keto-enol tautomerism reaction of $\text{Yb}(\text{HFA-H})_3$ in methanol- d_4 in order to reduce the radiationless transition to the ligands. The luminescence properties of $\text{Yb}(\text{HFA-D})_3$ complex were measured in the following anhydrous deuterated organic solvents ; Acetone- d_6 , Methanol- d_4 , THF- d_8 , $\text{PO}(\text{OCH}_3)_3$ and DMSO-d_6 . The intensity, lifetime and quantum efficiency of the luminescence in DMSO-d_6 were superior to those in other deuterated solvents. It was suggested that the anhydrous DMSO-d_6 might be the most appropriate solvent for the liquid laser material of $\text{Yb}(\text{HFA-D})_3$ complex.

Key Words(중요용어) : $\text{Yb}(\text{HFA-D})_3$ complex ($\text{Yb}(\text{HFA-D})_3$ 촉물), Liquid laser material (액체레이저 매질), Radiationless transition (무방사 천이), Luminescence property (발광특성),

1. 서 론

Nd^{3+} 을 비롯한 회토류 이온을 발광 중심으로 하는 일련의 고체레이저[1]는 발광에 필요한 반전분포 형성이 용이한 특징을 이용하여 고출력 레이저로써 널리 사용되어지고 있다. 한편, 최근의 반도체 레이저(LD)의 발전과 더불어 반도체 레이저를 여기광원으로 사용하는 준3준위계의 Yb^{3+} 이온을 이용하는 고출력레이저에 관한 연구가 활발히 진행되어지고 있다. 그러나, 이러한 고출력·고반복율의 레이저는 대부분이 Nd^{3+} 및 Yb^{3+} 의 고체매질을 활성매질로 사용함으로서 고체매질의 여기 및 냉각 등에 의한 열적 부하에 관련된 문제점이 해결 과제로 남아 있다.

본 연구에서는 고체레이저에 있어서의 열적 문제의 해결방법의 하나로서, 보다 취급이 간단하고 반응성 및 독성이 적은 유기용매를 사용하면서, 활성매질 자체의 순환에 의해 매질의 냉각과 동시에 레이저 발진이 가능한 새로운 액체레이저의 개발을 목표로 연구를 개시하였다. 그러나 유기용매 중의 Nd^{3+} , Yb^{3+} 이온의 여기상태 에너지는 용매의 진동으로 이동함으로서 간단히 소실되어지기 때문에 일반적으로 유기용매 중에서의 Nd^{3+} , Yb^{3+} 이온의 발광 및 레이저발진이 매우 어려운 것으로 알려져 있다.[2]

앞서의 연구에서 Nd^{3+} 이온에서 매체에로의 진동 여기 에너지의 이동을 억제하는 방법의 하나로 Nd^{3+} 이온의 주위에 진동수가 낮은 불소계 및 증수소를 배위자로 하는 Nd^{3+} 촉물을 분자설계·합성하고 그 용액을 제조하여, 레이저 매질로서의 광학적 특성에 관하여 연구한 결과, 세계에서 최초로 유기용매 중

* : 창원대학교 메카트로닉스공학부
(E-mail : kimjh@sarim.changwon.ac.kr)
**: 동신대학교 전기전자공학부
(E-mail : yppark@white.dongshinu.ac.kr)

에서 Nd^{3+} 이온의 발광을 관측하는데 성공하는 커다란 성과를 이루었다.[3]

이러한 연구성과를 토대로 본 연구에서는 최근 반도체레이저의 개발과 더불어 한층 그 수요 및 실용화가 폭넓게 요구되어지는 Yb^{3+} 이온의 레이저매질 개발에 연구초점을 전환하여 Nd^{3+} 에서 이론 연구성과를 Yb^{3+} 에 적용하였다. 즉, Yb^{3+} 액체레이저의 매질 개발을 목적으로 Yb^{3+} 주위에 저진동 모드의 결합으로 배위자를 형성하는 신물질 Yb^{3+} 착물을 새로이 합성하고, 여러 종류의 유기용매를 사용하여 레이저매질로서의 그 광학적 특성을 측정한 결과, 현재까지 보고되어진 Yb^{3+} 를 활성중심 이온으로 하는 액체 매질로서의 광학적 특성보다 우수한 결과를 얻었고, 이러한 $\text{Yb}(\text{HFA}-\text{H})_3$ 착물용액의 광학적 특성에 관하여 보고한다.

2. 실험

2.1. 분자설계 및 합성

*Ytterbium acetate monohydrate(5.0 g, 15 mmol)*을 탈이온수에 용해한 후 1,1,1,5,5,5-hexafluoro-2,4-pentanedione(HFA)(5.0 g, 24 mmol)/Methanol 2 mL의 혼합용액을 첨가하여 합성하고, 아세톤과 메탄올을 이용하여 재결정한 후, 바늘 모양의 연황색 결정 [tris-hexafluoro acetylacetonato ytterbium(III) dehydrates $\text{Yb}(\text{HFA}-\text{H})_3 \cdot 2\text{H}_2\text{O}$]을 얻었다. 이상과 같이 Yb^{3+} 이온 주위에 저진동수의 배위자를 갖는 신물질 Yb^{3+} 착물[$\text{Yb}(\text{HFA}-\text{H})_3$]을 분자설계·합성하고, 적외선 흡수스펙트럼 분석(IR), 핵자기공명 분석(^1H NMR, ^{13}C NMR, ^{19}F NMR), 원소 분석 및 시차열 분석(DSC) 등을 측정하여 신물질 $\text{Yb}(\text{HFA}-\text{H})_3$ 착물의 분자구조를 검토하였다. 적외 흡수 스펙트럼 분석[IR(KBr법)]의 결과 662(m), 743(w), 950(w), 1102(w), 1147(s), 1211(s), 1257(s), 1459(s), 1561(s), 1655(s), 2984(w), 3369(m) cm^{-1} 이고, 핵자기 공명 분석 측정 결과는 ^1H NMR(TMS) : 5.19 ppm, ^{13}C NMR (Methanol-d₄) : 55.46(C-H), 106.38, 109.20, 112.20, 114.51(C-F), 129.01(C-O) ppm, ^{19}F NMR(TFS) : -85.114 ppm 이었다. 또한 2수화물로서 계산한 $\text{Yb}(\text{HFA}-\text{H})_3 \cdot 2\text{H}_2\text{O}$ 의 원소분석 ($\text{C}_{15}\text{H}_7\text{O}_8\text{F}_{18}\text{Yb}_1$)의 결과 계산치 (C : 21.71%, H : 0.85%)와 측정치(C : 21.72%, H : 0.91%)는 잘 일치하였다. 이러한 결과로부터 $\text{Yb}(\text{HFA}-\text{H})_3$ 착물의 분자구조는 8배위의 Anti-Square Prism 구조[4]로 생각된다.

이상의 방법으로 새로이 합성되어진 $\text{Yb}(\text{HFA}-\text{H})_3$ 착물을 고진공 중에서 중메탄올(CD_3OD)을 이용한 Keto-Anol 평형반응을 시킴으로서 중수소 치환되어진 $\text{Yb}(\text{HFA}-\text{D})_3$ 착물을 얻었다. $\text{Yb}(\text{HFA}-\text{H})_3 \rightarrow \text{Yb}(\text{HFA}-\text{D})_3$ 으로 변환되는 중수소 치환율에 대해서는 ^1H NMR, ^{13}F NMR을 이용하여 관측하였다. ^1H NMR로부터 중수소 치환율을 측정한 결과 Keto-Anol 평형반응 두시간 후, C-H 결합의 적분치는 1.31에서 0.24로 감소되어진 결과로부터 중수소 치환율은 약 82 %임을 알 수 있었다. 또한 ^{19}F NMR을 이용하여 시간과 온도의 변화에 따른 중수소 치환율을 관측한 결과 ^1H NMR과 동일한 결과를 얻었고, ^{19}F NMR의 측정 결과를 그림 1에 나타낸다. 그림 10으로부터 $\text{Yb}(\text{HFA}-\text{H})_3$ 착물을 중메탄올 중에서 Keto-Anol 평형반응시킨 직후(a)는 C-H 결합만 관측되어지지만 반응 1.5시간 후(c)는 C-H 결합과 C-D 결합이 중첩되어져 나타나고 있음을 알 수 있다. 더욱이 반응이 진행됨과 더불어 C-H 결합의 peak치가 줄어듬과 동시에 C-D 결합의 peak가 현저히 나타남을 보이고 있다(e).

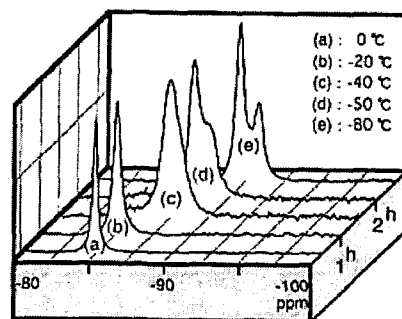


그림 1. 중수소 치환 과정
[$\text{Yb}(\text{HFA}-\text{H})_3 \rightarrow \text{Yb}(\text{HFA}-\text{D})_3$]

이러한 화학적 합성과정을 거쳐 개발되어진 신물질 $\text{Yb}(\text{HFA}-\text{D})_3$ 착물에 대하여 액체레이저 매질로서의 광학적 특성을 측정하기 위하여 취급이 간단하고, 독성이 적은 여러 종류의 유기용매에 용해하였다. $\text{Yb}(\text{HFA}-\text{D})_3$ 착물용액의 제조에 사용되어진 유기용매는 중수소 치환율이 99.95 % 이상인 고순도의 Acetone-d₆, Methanol-d₄, Tetrahydrofuran(THF-d₈), Dimethylsulfoxide(DMSO-d₆) 및 Trimethyl Phosphate[PO(OCH₃)₃]를 각각 사용하였으며, Aldrich Chemical사에서 구입하였다.

2.2. 광학적 특성의 측정

$\text{Yb}(\text{HFA-D})_3$ 착물용액의 투과·흡수, 빌광스펙트럼 측정에는 그림 2에 보인 고분해능 발광 분광장치 SS-25 시스템(JASCO SS-25 System)을 사용하였다. Yb^{3+} 이온의 투과·흡수스펙트럼 측정에는 CW Halogen Lamp, 빌광스펙트럼의 측정에는 CW Xe Lamp를 여기광원으로 사용하였으며, 측면 측광방식으로 로크인 앰프 검출법으로 측정하였다.

또한, $\text{Yb}(\text{HFA-D})_3$ 착물용액의 발광수명의 측정에는 Nd:YAG 레이저의 제2고조파($\lambda=532 \text{ nm}$)로 여기시킨 Ti:Sapphire 레이저의 $\lambda=930 \text{ nm}$ 광을 여기광원으로 사용했다. 여기 광로에 간섭필터($930 \pm 5 \text{ nm}$), HA30 및 IR78 필터를 설치하여 파장 $930 \pm 5 \text{ nm}$ 의 광이 레이저 매질에 조사되어질 수 있도록 하였다.

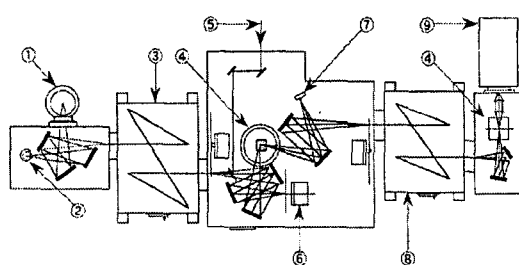


그림 2. 고분해능 발광 분광장치
SS-25 시스템(JASCO SS-25 System)

3. 결과 및 고찰

Yb^{3+} 에서 매체에로의 진동여기 에너지 이동의 억제를 목적으로 Yb^{3+} 주위에 저진동 모드의 불소계 및 중수소를 배위자로 사용한 $\text{Yb}(\text{HFA-D})_3$ 착물용액의 광학적 특성을 측정하였다. 그림 2의 고분해능 발광 분광 측정 System(SS-25)을 사용하여 투과스펙트럼을 측정하고, 투과스펙트럼으로 부터 Yb^{3+} 이온이 외의 흡수에 의한 손실분에 대하여 최소차승법을 이용한 시뮬레이션을 실시하여, 흡수스펙트럼을 산출하였다. 흡수스펙트럼을 측정한 결과 $\text{Yb}(\text{HFA-D})_3$ 착물의 경우 사용되어진 용매의 종류에 따라 흡수스펙트럼의 미소한 변화가 보이지만, 파장 935 nm , 975 nm 에 흡수대(${}^4\text{F}_{5/2}$)를 나타내고, 흡수 Peak 파장은 975 nm 로서 유기용매의 종류에 의존하지 않고 Yb^{3+} 이온 고유의 흡수특성을 지니고 있음을 알 수 있다.

CW Xe Lamp의 935 nm 광을 여기광원으로 사용하여 빌광스펙트럼을 측정한 결과, 파장 985 nm 대(${}^2\text{F}_{5/2} \rightarrow {}^2\text{F}_{7/2}$)에서 강한 발광을 관측할 수 있었다.

이러한 Yb^{3+} 이온의 발광은 다른 유기용매중에서도 관측 가능하였고, 발광강도는 Methanol- d_4 , Tetrahydrofuran(THF- d_8), Trimethyl Phosphate [PO(OCH₃)₃], Dimethylsulfoxide(DMSO- d_6)의 순서로 유기용매의 종류에 의존하고 있음을 알 수 있다. $\text{Yb}(\text{HFA-D})_3$ 착물에 있어서의 유기용매의 종류에 의한 발광강도 측정결과를 비교하여 그림 3에 나타낸다. 그림 3에 나타난 바와 같이 사용한 유기용매 중에서 가장 우수한 발광 강도를 나타낸 것은 Dimethylsulfoxide(DMSO- d_6)를 용매로 사용한 경우로서, 이때의 빌광스펙트럼은 대칭형이며, 발광 Peak 파장은 $\lambda=985 \text{ nm}$, 빌광스펙트럼의 반치폭(FWHM)은 63 nm 였다.

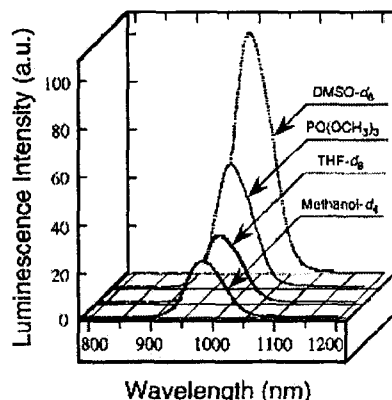


그림 3. $\text{Yb}(\text{HFA-D})_3$ 착물용액의 빌광스펙트럼.

한편, $\text{Yb}(\text{HFA-D})_3$ 착물의 발광 Decay를 측정하고, 이 발광 Decay로부터 발광수명을 계산한 결과, 용매가 Methanol- d_4 인 경우 $10 \mu\text{s}$, THF- d_8 에서는 $12 \mu\text{s}$ 였으며, 사용한 유기용매중에서 가장 긴 발광수명은 나타낸 것은 DMSO- d_6 로서 이때의 발광수명은 $66 \mu\text{s}$ 였다.

이러한 결과는 동일한 분자구조를 갖는 Nd(HFA-D)₃ 착물(DMSO-*d*₆; 6.3 μs)[3]에 비교하여 약 10배의 긴 발광수명이며, 현재까지 보고되어져 있는 용액중의 Yb³⁺이온의 발광수명[5][6]보다 10~200배 이상의 긴 발광수명을 가지고 있음을 알 수 있다.

한편, PO(OCH₃)₃을 용매로 사용한 경우 중수소치환 되어져 있지 않음에도 불구하고 27 μs의 발광수명을 나타냄으로서 레이저 매질로서의 Yb(HFA-D)₃ 착물에 있어서의 인산계의 용매의 가능성에 대해서도 높이 기대되어진다.

이상과 같이 측정한 Yb(HFA-D)₃ 착물용액의 발광특성에 관하여 이미 보고되어져 있는 Yb³⁺이온의 발광특성과 비교하여 표 1에 나타낸다. 표 1로부터 DMSO-*d*₆을 용매로서 사용한 Yb(HFA-D)₃ 착물이 사용되어진 유기용매중 레이저 매질로서 가장 우수한 광학적 특성을 나타내고 있음을 알 수 있다.

표 1. Yb(HFA-D)₃ 착물용액의 광학적 특성.

Table 1. Optical properties of Yb(HFA-D)₃ complex.

Materials	Solvents	Peak Wavelength (nm)	FWHM (nm)	Lifetime (μs)	Excitation Wavelength (nm)	Lum. Ref Intensity (%γ)
Yb(HFA-D) ₃ Complex	DMSO- <i>d</i> ₆	985	63	66	935(930)	100.0
	PO(OCH ₃) ₃	980	65	27	935(930)	56.3
	THF- <i>d</i> ₈	985	65	12	935(930)	28.9
	Methanol- <i>d</i> ₄	985	65	10	935(930)	24.9
Yb:AS Complex ^(a)	DMSO	980	80	0.35	530	
Yb:AC Complex ^(b)	DMSO	980	70	0.30	505	
Yb:AN Complex ^(b)	DMSO	980	70	0.25	520	
Yb(CF ₃ SO ₂) ₃ Complex ^(c)	D ₂ O	—	—	3.95	970	
	Me ₂ SO	—	—	5.26	970	
	DMSO	—	—	9.45	970	

(a) The relative luminescence intensity was determined DMSO-*d*₆ using as a reference.

(b) Complexes of with hydroxyanthraquinone derivatives alizarine red S(AS), alizarine(AC) and 3-nitroalizarin(AN), Reference [5].

(c) Reference [6].

4. 결 론

본 연구에서는 액체레이저를 위한 매질의 개발을 목적으로 Yb(HFA-D)₃ 착물용액을 새로이 합성하고 그 광학적 특성을 측정한 결과, 현재까지 보고되어져 있는 용액중의 Yb³⁺이온의 발광수명보다 10~200

배 이상의 긴 발광수명을 관측하였다. 이러한 결과로부터 용액중의 Yb³⁺이온의 무방사천이에 의한 에너지 소실의 억제에는 Yb³⁺착물 주위에 불소계 및 중수소의 저진동 모드의 배위자의 합성이 매우 효과적인 것으로 판단된다.

여러 종류의 유기용매를 사용하여 Yb(HFA-D)₃ 착물의 광학적 특성을 측정한 결과, 가장 우수한 발광특성을 나타낸 것은 DMSO-*d*₆를 용매로 사용한 경우로서 액체레이저 매질의 개발 시 유기용매로서는 DMSO-*d*₆가 유력한 후보임을 제시하였다. DMSO-*d*₆를 용매로 사용한 Yb(HFA-D)₃ 착물의 경우, 파장 $\lambda=985$ nm ($^2F_{5/2} \rightarrow ^2F_{7/2}$)에서 발광 Peak 파장을 나타내었고, 발광스펙트럼의 반차폭(FWHM)은 63 nm 였다. 발광수명은 약 66 μs 이었다.

참고 문헌

- [1] D. W. Hall and M. J. Weber, *J. Appl. Phys.*, **55**, 2642 (1983).
- [2] G. Stein and E. J. Wurzberg, *J. Chem. Phys.*, **62**, 208 (1975)
- [3] Y. Hasegawa, K. Murakoshi, Y. Wada, S. Yanagida, J. H. Kim, N. Nakashima and T. Yamamoto, *Chem. Phys. Lett.*, **248**, 8 (1996).
- [4] M. Nakamura, R. Nakamura, K. Nagai, M. Shimoi, S. Tomoda, Y. Takeuchi and A. Ouchi, *Bull. Chem. Soc. Jpn.*, **59** (1986).
- [5] Y. V. Korovin, S. B. Meshkova and N. S. Poluektov, *J. Prik. Spec.*, **48**, 58 (1988).
- [6] A. Beeby, R. Dickins, S. Faulkner, D. Parker and J. A. G. Williams, *Chem. Commun.*, 1402 (1997).